







































































Correlogram of Residuals

Date: 03/20/15 Time: 14:20
Sample: 1990M01 2013M12
Included observations: 288

Autocorrelation	Partial Correlation	AC	PAC	Q-Stat	Prob	
		1	0.700	0.700	142.65	0.000
		2	0.659	0.332	269.61	0.000
		3	0.632	0.201	386.67	0.000
		4	0.607	0.129	495.10	0.000
		5	0.582	0.080	595.00	0.000
		6	0.544	0.020	682.76	0.000
		7	0.493	-0.043	754.99	0.000
		8	0.472	0.004	821.37	0.000
		9	0.442	-0.006	879.80	0.000
		10	0.388	-0.065	925.01	0.000
		11	0.353	-0.038	962.63	0.000
		12	0.230	-0.239	978.61	0.000
		13	0.401	0.425	1027.5	0.000
		14	0.366	0.086	1068.4	0.000
		15	0.328	-0.013	1101.3	0.000
		16	0.352	0.112	1139.4	0.000
		17	0.327	-0.038	1172.3	0.000
		18	0.271	-0.179	1195.1	0.000
		19	0.252	-0.135	1214.7	0.000
		20	0.194	-0.154	1226.5	0.000
		21	0.187	-0.028	1237.5	0.000
		22	0.165	-0.079	1246.1	0.000
		23	0.138	0.025	1252.1	0.000
		24	0.062	-0.224	1253.3	0.000
		25	0.056	0.380	1254.3	0.000
		26	0.062	0.103	1255.6	0.000
		27	0.043	-0.016	1256.1	0.000
		28	-0.012	0.038	1256.2	0.000
		29	-0.008	-0.055	1256.2	0.000
		30	0.039	-0.035	1256.7	0.000
		31	0.040	-0.014	1257.2	0.000
		32	0.075	0.018	1259.1	0.000
		33	0.055	0.032	1260.0	0.000
		34	0.067	0.014	1261.5	0.000
		35	0.048	-0.007	1262.3	0.000
		36	0.083	-0.126	1264.5	0.000